

دراسة مرضية للخمج التجريبي بجراثيم المكورات المعاوية البرازية في طيور السمان

محمد عسان الحمداني وانتصار رحيم الكناني

فرع الأمراض وأمراض الدواجن، كلية الطب البيطري، جامعة الموصل، الموصل، العراق

(الإسلام ١٤ كانون الأول ٢٠١٢؛ القبول ٣١ آذار ٢٠١٣)

الخلاصة

أجريت هذه الدراسة لعزل وتصنيف جراثيم المكورات المعاوية البرازية *Enterococcus faecalis* من الأمعاء الدقيقة والأعور لطيور السمان وزرعها وتنميتها في الأوساط الزرعية التفريقة والانتخابية وتحديد تركيز معلق جرثومة المكورات المعاوية البرازية لإجراء الخمج التجريبي ومتابعة الامراضية. قسمت طيور السمان عشوائياً إلى أربعة مجتمعات عدت المجموعة الأولى مجموعة سيطرة وحقنت المجموعات التالية، ٥٪، ٠٪، ١٪ من المعلق الجرثومي داخل الخلب حيث المجموعة الثانية حقنت بتركيز $1X10^8$ CFU وحقنت المجموعة الثالثة بتركيز $1X10^9$ CFU أما المجموعة الرابعة فحقنت بتركيز $1X10^{10}$ CFU، تم متابعة العلامات السريرية، والأفالت المرضية بعد إجراء الصفة التشريحية للسمان خلال الفترات ٣ و ٧ و ١٤ و ٢١ يوم بعد الخمج لكل من القلب والكبد والكلية. أظهرت النتائج نمو جراثيم المكورات المعاوية البرازية بعد العزل الجرثومي فضلاً عن وجود الآفات العيائية المتمثلة بعتمامة غشاء التامور وتضخم القلب واحتشاء الكبد أما نسجياً فشملت الآفات بداية التهاب شغاف القلب وظهور التغير الدهني الشديد وتموضع الخثرات الحديبية والنظر الشديد للخلايا الكبدية كما أظهرت الكلية التورم الخلوي لظهور النبيبات الكلوية وموت الخلايا المبرمج (Apoptosis) عند اليوم الثالث من الخمج وكانت الآفات النسجية أكثر شدة بشكل عام عند الأيام ٣ و ٧ من الخمج. نستنتج من هذه الدراسة أن طيور السمان لها آلية دفاعية ومناعية قوية بالرغم من ظهور التغيرات المرضية عند الخمج التجريبي بتركيز عالٍ من المعلق الجرثومي والتي تسبب الموت في حيوانات أخرى مثل الفران والجرذان، فضلاً عن أن جرثومة المكورات المعاوية البرازية تمتلك القابلية على تحفيز موت الخلايا المبرمج.

Pathological study of experimental infection with *Enterococcus faecalis* in quails

M. G. Al-hamdany and E. R. Al-kennany

Department of Pathology and Poultry Diseases, College of Veterinary Medicine, University of Mosul, Mosul, Iraq

Abstract

This study was carried to isolate and identify of *Enterococcus faecalis* from small intestine and cecum of quails by culturing on differential and selective media. The concentration of *E. faecalis* suspension was fixed for experimental infection. Quails divided randomly into four groups, the first group considered as control group, the other groups injected with 0.5 ml of bacterial suspension as following: second group $1X10^8$ CFU, the third group injected with $1X10^9$ CFU, and the forth group injected with $1X10^{10}$ CFU. The clinical signs and pathological changes of heart, liver and kidney were observed at 3, 7, 14 and 21 days after infection. The results showed identification of *E. faecalis* after culturing and isolation of it. The gross lesions represented by opacity of pericardium, heart hypertrophy and liver infarction, histopathological lesions include beginning of endocarditis, severe fatty changes with localized recent thrombus and severe necrosis in liver, and cell swelling of epithelium lining renal tubules and apoptosis in kidney. The histopathological changes were more severe at 3 and 7 days post infection. This study concludes that quails have a strong defense and immune mechanism despite the appearance of pathological changes with high concentrations of bacterial suspension which cause death in other animals such as mice and rats, also *E. faecalis* possesses the ability to induce apoptosis.

Available online at <http://www.vetmedmosul.org/ijvs>

المقدمة

في أفراخ فروج اللحم (Encephalomalacia) (11). ونظرا لقلة الدراسات حول امراضية هذه الجراثيم في طيور السمان ارتأت هذه الدراسة الى معرفة قابلية هذه الجراثيم على احداث الخمج تجريبيا لمتابعة المرض.

المواد وطرائق العمل

استخدمت في هذه التجربة طيور السمان (Japanese quails) (Japanese quails) (1) بعمر ٢١ يوم وبأوزان تراوحت بين ٨٠ - ١٠٠ غرام، تم الحصول على بيين السمان من هيئة البحث الزراعية / قسم بحوث نينوى وحضرن البيض في حاضنة بيت الحيوان التابع لكلية الطب البيطري - جامعة الموصل وبعد الفقس تم تربية أفراخ السمان في ظروف مختبرية قياسية من حيث درجة الحرارة والإضاءة وزودت بالماء والعلف طيلة فترة التجربة.

العزل الجرثومي

تم عزل جراثيم المكورات المعاوية البرازية من أمعاء وأعور طيور السمان بطريقة معقمة ووضعت العزلات في مرق نقيع الدماغ والقلب (Brain heart infusion broth BHIB) ثم حضنت بدرجة حرارة ٣٧°C ولمدة ٢٤ ساعة ثم أخذت مسحة منه وزرعت على وسط أكار الماكونكي (MacConkey agar) (2) ووضعت بالحاضنة بدرجة حرارة ٣٧°C ولمدة ٢٤ ساعة ثم أخذت مسحة منه وزرعت على وسط أكار الدم أزايد (Azide) (3) وسط الدم ووسط الدم ادوارد (Edward blood agar) (أو سط تقريبة) ووضعت بالحاضنة بدرجة حرارة ٣٧°C ولمدة ٢٤ ساعة وصبت بصبغة الكرام (Gram's stain) ثم أخذت مسحات منها وزرعت على الوسط الانتخابي لجراثيم المكورات المعاوية Enterococcus agar (4) ثم تم اجراء اختبار نمو عزلة الجراثيم في وسط مرق نقيع الدماغ والقلب مضاد إليه ملح الطعام NaCl بتركيز ٦% ثم أجريت الاختبارات الكيمويونية بواسطة فحص السائل التابع للفحص ثم أضيفت إلى الحجرات وحضرن الشريط لمدة ٤ ساعات ثم أضيفت الكواشف وحضرن لمدة ٢٤ ساعة وقرأت النتيجة، وتم اجراء العد الجرثومي الحيوي (Viable) (5) حسب طريقة ميلز ومسرا (Miles & Misra) (6) (7) حيث يحتوي هذا الشريط على حجرات فيها سكريات وحسب طريقة الاستعمال أضيفت الجرثومة التقية إلى الوسط السائل التابع للفحص ثم أضيفت إلى الحجرات وحضرن الشريط لمدة ٤ ساعات ثم أضيفت الكواشف وحضرن لمدة ٢٤ ساعة وقرأت النتيجة، وتم اجراء العد الجرثومي الحيوي (Viable) (8) (9) (10) (11) (12) (13) (14) (15) (16) (17) (18) (19) (20) (21) (22) (23) (24) (25) (26) (27) (28) (29) (30) (31) (32) (33) (34) (35) (36) (37) (38) (39) (40) (41) (42) (43) (44) (45) (46) (47) (48) (49) (50) (51) (52) (53) (54) (55) (56) (57) (58) (59) (60) (61) (62) (63) (64) (65) (66) (67) (68) (69) (70) (71) (72) (73) (74) (75) (76) (77) (78) (79) (80) (81) (82) (83) (84) (85) (86) (87) (88) (89) (90) (91) (92) (93) (94) (95) (96) (97) (98) (99) (100) (101) (102) (103) (104) (105) (106) (107) (108) (109) (110) (111) (112) (113) (114) (115) (116) (117) (118) (119) (120) (121) (122) (123) (124) (125) (126) (127) (128) (129) (130) (131) (132) (133) (134) (135) (136) (137) (138) (139) (140) (141) (142) (143) (144) (145) (146) (147) (148) (149) (150) (151) (152) (153) (154) (155) (156) (157) (158) (159) (160) (161) (162) (163) (164) (165) (166) (167) (168) (169) (170) (171) (172) (173) (174) (175) (176) (177) (178) (179) (180) (181) (182) (183) (184) (185) (186) (187) (188) (189) (190) (191) (192) (193) (194) (195) (196) (197) (198) (199) (200) (201) (202) (203) (204) (205) (206) (207) (208) (209) (210) (211) (212) (213) (214) (215) (216) (217) (218) (219) (220) (221) (222) (223) (224) (225) (226) (227) (228) (229) (230) (231) (232) (233) (234) (235) (236) (237) (238) (239) (240) (241) (242) (243) (244) (245) (246) (247) (248) (249) (250) (251) (252) (253) (254) (255) (256) (257) (258) (259) (260) (261) (262) (263) (264) (265) (266) (267) (268) (269) (270) (271) (272) (273) (274) (275) (276) (277) (278) (279) (280) (281) (282) (283) (284) (285) (286) (287) (288) (289) (290) (291) (292) (293) (294) (295) (296) (297) (298) (299) (300) (301) (302) (303) (304) (305) (306) (307) (308) (309) (310) (311) (312) (313) (314) (315) (316) (317) (318) (319) (320) (321) (322) (323) (324) (325) (326) (327) (328) (329) (330) (331) (332) (333) (334) (335) (336) (337) (338) (339) (340) (341) (342) (343) (344) (345) (346) (347) (348) (349) (350) (351) (352) (353) (354) (355) (356) (357) (358) (359) (360) (361) (362) (363) (364) (365) (366) (367) (368) (369) (370) (371) (372) (373) (374) (375) (376) (377) (378) (379) (380) (381) (382) (383) (384) (385) (386) (387) (388) (389) (390) (391) (392) (393) (394) (395) (396) (397) (398) (399) (400) (401) (402) (403) (404) (405) (406) (407) (408) (409) (410) (411) (412) (413) (414) (415) (416) (417) (418) (419) (420) (421) (422) (423) (424) (425) (426) (427) (428) (429) (430) (431) (432) (433) (434) (435) (436) (437) (438) (439) (440) (441) (442) (443) (444) (445) (446) (447) (448) (449) (450) (451) (452) (453) (454) (455) (456) (457) (458) (459) (460) (461) (462) (463) (464) (465) (466) (467) (468) (469) (470) (471) (472) (473) (474) (475) (476) (477) (478) (479) (480) (481) (482) (483) (484) (485) (486) (487) (488) (489) (490) (491) (492) (493) (494) (495) (496) (497) (498) (499) (500) (501) (502) (503) (504) (505) (506) (507) (508) (509) (510) (511) (512) (513) (514) (515) (516) (517) (518) (519) (520) (521) (522) (523) (524) (525) (526) (527) (528) (529) (530) (531) (532) (533) (534) (535) (536) (537) (538) (539) (540) (541) (542) (543) (544) (545) (546) (547) (548) (549) (550) (551) (552) (553) (554) (555) (556) (557) (558) (559) (5510) (5511) (5512) (5513) (5514) (5515) (5516) (5517) (5518) (5519) (5520) (5521) (5522) (5523) (5524) (5525) (5526) (5527) (5528) (5529) (5530) (5531) (5532) (5533) (5534) (5535) (5536) (5537) (5538) (5539) (55310) (55311) (55312) (55313) (55314) (55315) (55316) (55317) (55318) (55319) (55320) (55321) (55322) (55323) (55324) (55325) (55326) (55327) (55328) (55329) (55330) (55331) (55332) (55333) (55334) (55335) (55336) (55337) (55338) (55339) (553310) (553311) (553312) (553313) (553314) (553315) (553316) (553317) (553318) (553319) (553320) (553321) (553322) (553323) (553324) (553325) (553326) (553327) (553328) (553329) (553330) (553331) (553332) (553333) (553334) (553335) (553336) (553337) (553338) (553339) (5533310) (5533311) (5533312) (5533313) (5533314) (5533315) (5533316) (5533317) (5533318) (5533319) (5533320) (5533321) (5533322) (5533323) (5533324) (5533325) (5533326) (5533327) (5533328) (5533329) (5533330) (5533331) (5533332) (5533333) (5533334) (5533335) (5533336) (5533337) (5533338) (5533339) (55333310) (55333311) (55333312) (55333313) (55333314) (55333315) (55333316) (55333317) (55333318) (55333319) (55333320) (55333321) (55333322) (55333323) (55333324) (55333325) (55333326) (55333327) (55333328) (55333329) (55333330) (55333331) (55333332) (55333333) (55333334) (55333335) (55333336) (55333337) (55333338) (55333339) (553333310) (553333311) (553333312) (553333313) (553333314) (553333315) (553333316) (553333317) (553333318) (553333319) (553333320) (553333321) (553333322) (553333323) (553333324) (553333325) (553333326) (553333327) (553333328) (553333329) (553333330) (553333331) (553333332) (553333333) (553333334) (553333335) (553333336) (553333337) (553333338) (553333339) (5533333310) (5533333311) (5533333312) (5533333313) (5533333314) (5533333315) (5533333316) (5533333317) (5533333318) (5533333319) (5533333320) (5533333321) (5533333322) (5533333323) (5533333324) (5533333325) (5533333326) (5533333327) (5533333328) (5533333329) (5533333330) (5533333331) (5533333332) (5533333333) (5533333334) (5533333335) (5533333336) (5533333337) (5533333338) (5533333339) (55333333310) (55333333311) (55333333312) (55333333313) (55333333314) (55333333315) (55333333316) (55333333317) (55333333318) (55333333319) (55333333320) (55333333321) (55333333322) (55333333323) (55333333324) (55333333325) (55333333326) (55333333327) (55333333328) (55333333329) (55333333330) (55333333331) (55333333332) (55333333333) (55333333334) (55333333335) (55333333336) (55333333337) (55333333338) (55333333339) (553333333310) (553333333311) (553333333312) (553333333313) (553333333314) (553333333315) (553333333316) (553333333317) (553333333318) (553333333319) (553333333320) (553333333321) (553333333322) (553333333323) (553333333324) (553333333325) (553333333326) (553333333327) (553333333328) (553333333329) (553333333330) (553333333331) (553333333332) (553333333333) (553333333334) (553333333335) (553333333336) (553333333337) (553333333338) (553333333339) (5533333333310) (5533333333311) (5533333333312) (5533333333313) (5533333333314) (5533333333315) (5533333333316) (5533333333317) (5533333333318) (5533333333319) (5533333333320) (5533333333321) (5533333333322) (5533333333323) (5533333333324) (5533333333325) (5533333333326) (5533333333327) (5533333333328) (5533333333329) (5533333333330) (5533333333331) (5533333333332) (5533333333333) (5533333333334) (5533333333335) (5533333333336) (5533333333337) (5533333333338) (5533333333339) (55333333333310) (55333333333311) (55333333333312) (55333333333313) (55333333333314) (55333333333315) (55333333333316) (55333333333317) (55333333333318) (55333333333319) (55333333333320) (55333333333321) (55333333333322) (55333333333323) (55333333333324) (55333333333325) (55333333333326) (55333333333327) (55333333333328) (55333333333329) (55333333333330) (55333333333331) (55333333333332) (55333333333333) (55333333333334) (55333333333335) (55333333333336) (55333333333337) (55333333333338) (55333333333339) (553333333333310) (553333333333311) (553333333333312) (553333333333313) (553333333333314) (553333333333315) (553333333333316) (553333333333317) (553333333333318) (553333333333319) (553333333333320) (553333333333321) (553333333333322) (553333333333323) (553333333333324) (553333333333325) (553333333333326) (553333333333327) (553333333333328) (553333333333329) (553333333333330) (553333333333331) (553333333333332) (553333333333333) (553333333333334) (553333333333335) (553333333333336) (553333333333337) (553333333333338) (553333333333339) (5533333333333310) (5533333333333311) (5533333333333312) (5533333333333313) (5533333333333314) (5533333333333315) (5533333333333316) (5533333333333317) (5533333333333318) (5533333333333319) (5533333333333320) (5533333333333321) (5533333333333322) (5533333333333323) (5533333333333324) (5533333333333325) (5533333333333326) (5533333333333327) (5533333333333328) (5533333333333329) (5533333333333330) (5533333333333331) (5533333333333332) (5533333333333333) (5533333333333334) (5533333333333335) (5533333333333336) (5533333333333337) (5533333333333338) (5533333333333339) (55333333333333310) (55333333333333311) (55333333333333312) (55333333333333313) (55333333333333314) (55333333333333315) (55333333333333316) (55333333333333317) (55333333333333318) (55333333333333319) (55333333333333320) (55333333333333321) (55333333333333322) (55333333333333323) (55333333333333324) (55333333333333325) (55333333333333326) (55333333333333327) (55333333333333328) (55333333333333329) (55333333333333330) (55333333333333331) (55333333333333332) (55333333333333333) (55333333333333334) (55333333333333335) (55333333333333336) (55333333333333337) (55333333333333338) (55333333333333339) (553333333333333310) (553333333333333311) (553333333333333312) (553333333333333313) (553333333333333314) (553333333333333315) (553333333333333316) (553333333333333317) (553333333333333318) (553333333333333319) (553333333333333320) (553333333333333321) (553333333333333322) (553333333333333323) (553333333333333324) (553333333333333325) (553333333333333326) (553333333333333327) (553333333333333328) (553333333333333329) (553333333333333330) (553333333333333331) (553333333333333332) (553333333333333333) (553333333333333334) (553333333333333335) (553333333333333336) (553333333333333337) (553333333333333338) (553333333333333339) (5533333333333333310) (5533333333333333311) (5533333333333333312) (5533333333333333313) (5533333333333333314) (5533333333333333315) (5533333333333333316) (5533333333333333317) (5533333333333333318) (5533333333333333319) (5533333333333333320) (5533333333333333321) (5533333333333333322) (5533333333333333323) (5533333333333333324) (5533333333333333325) (5533333333333333326) (5533333333333333327) (5533333333333333328) (5533333333333333329) (5533333333333333330) (5533333333333333331) (5533333333333333332) (5533333333333333333) (5533333333333333334) (5533333333333333335) (5533333333333333336) (5533333333333333337) (5533333333333333338) (5533333333333333339) (55333333333333333310) (55333333333333333311) (55333333333333333312) (55333333333333333313) (55333333333333333314) (55333333333333333315) (55333333333333333316) (55333333333333333317) (55333333333333333318) (55333333333333333319) (55333333333333333320) (55333333333333333321) (55333333333333333322) (55333333333333333323) (55333333333333333324) (55333333333333333325) (55333333333333333326) (55333333333333333327) (55333333333333333328) (55333333333333333329) (55333333333333333330) (55333333333333333331) (55333333333333333332) (55333333333333333333) (55333333333333333334) (55333333333333333335) (55333333333333333336) (55333333333333333337) (55333333333333333338) (55333333333333333339) (553333333333333333310) (553333333333333333311) (553333333333333333312) (553333333333333333313) (553333333333333333314) (553333333333333333315) (553333333333333333316) (553333333333333333317) (553333333333333333318) (553333333333333333319) (553333333333333333320) (553333333333333333321) (553333333333333333322) (553333333333333333323) (553333333333333333324) (553333333333333333325) (553333333333333333326) (553333333333333333327) (553333333333333333328) (553333333333333333329) (553333333333333333330) (553333333333333333331) (553333333333333333332) (5533333333333

التغيرات المرضية العيانية

تم إجراء الصفة التشريحية بعد ٣ و ٧ و ١٤ و ٢١ يوم من حقن طيور السمان بالمعلق الجرثومي بالتراكيز الثلاثة و ظهرت التغيرات عند التركيز $1X10^9$ CFU إلا أنها كانت أشد بتركيز $1X10^{10}$ CFU عند الفترات ١٤ و ٢١ يوم بعد الخمج و تمثلت بتضخم و احتقان القلب و عتامة غشاء التامور و تغير لونه إلى كرمي معتم (الشكل ٤) و احتشاء Infarction و شحوب و احتقان الكبد (الشكل ٥) فضلاً عن تضخم و احتقان الكلية.

التغيرات المرضية النسجية

القلب

أظهرت المقاطع النسجية القلب في اليوم ٣ و ٧ و ١٤ بعد الخمج احتقانات في الشعيرات الدموية بين الألياف العضلية و ارتشاح الخلايا الالتهابية المتمثلة بالتغييرات ممزوجة بتجمعات من البكتيريا فضلاً عن التغير الدهني في هيولى الخلايا العضلية القلبية عند التركيز $1X10^9$ CFU (الشكل ٦)، تكررت التغيرات المذكورة سابقاً عند اليوم ٢١ من الخمج فضلاً عن تزوج الألياف العضلية والنزف (الشكل ٧) و ازدادت شدة الآفات عند المجموعة الثالثة التي حقن بتركيز $1X10^{10}$ CFU من المعلق الجرثومي.

الكبد

أظهرت المقاطع النسجية لكبد السمان المحقون بالمعلق الجرثومي بتركيز $1X10^9$ CFU وجود التورم الخلوي الشديد و احتقان الوريد المركزي و الجيبانيات عند اليوم الثالث من الخمج فضلاً عن موت خلوي مبرمج (Apoptosis) (الشكل ٨)، و عند اليوم ٧ و ١٤ تكررت الآفات المذكورة سلفاً صاحبها تغير دهني شديد و تموضع الخثرة الحديثة Recent thrombus بالوريد المركزي و ارتشاح الخلايا الالتهابية حول الوريد المركزي فضلاً عن نخر الخلايا الكبدية (الشكل ٩) وكانت هذه التغيرات أكثر وضوحاً عند المجموعة التي حقن بتركيزين $1X10^9$ CFU و $1X10^{10}$ CFU، أما عند يوم ٢١ بعد الخمج فكانت التغيرات أقل تمثلت بالتنكس الغبوي الطفيف و تورم الخلايا الكبدية مع تتخن جدران الأوعية الدموية و ارتشاح الخلايا الالتهابية بتركيز $1X10^9$ CFU (الشكل ١٠).

الكلية

أظهرت المقاطع النسجية لكليه السمان بعد ثلاثة أيام من الخمج التي حقن بتركيز $1X10^9$ CFU وجود تغيرات مرضية تمثلت بالتورم الخلوي للخلايا الظهارية المبطنة للنبيبات الكلوية القاسية والدانية مع احتقان الأوعية الدموية و موت خلوي مبرمج (الشكل ١١)، أما عند الأيام ٧ و ١٤ و ٢١ فكان التورم الخلوي أشد مع ارتشاح الخلايا الالتهابية المتمثلة بالتغييرات (Heterophiles) (الشكل ١٢).

تراكيز مختلفة من معلق جراثيم المكورات المعاوية البرازية دعت المجموعة الأولى مجموعة سيطرة و حققت بالملح الفسلجي و حققت المجموعة الثانية بالمعلق الجرثومي بتركيز $1X10^8$ CFU و حققت المجموعة الثالثة بتركيز $1X10^9$ CFU أما المجموعة الرابعة فحققت بتركيز $1X10^{10}$ CFU وكانت كافة الجرع المحقونة بحجم ٥ مل و بالتجويف الخلبي.

تركط طيور السمان تحت الملاحظة لمدة ٢١ يوم حيث تم القتل خلال الفترات ٣ و ٧ و ١٤ و ٢١ يوم بعد الخمج، وبعد ظهور العلامات السريرية تم إجراء الصفة التشريحية و ملاحظة التغيرات العيانية وأخذت نماذج من القلب و الكبد و الكلية و وضعت في محلول الفورمالين الداري المتعادل ١٠٪ ثم تم تمرير العينات و تحضير المقاطع النسجية و صبغها بصبغة الهيماتوكسيلين والأيوسين (14).

تم إعادة عزل لجراثيم *E.faecalis* وذلك بأخذ مسحات معقمة من داخل القلب و زررها في مرق نقيع الدماغ و القلب BHI broth و حفظت بالحاضنة بدرجة حرارة ٣٧°C ولمدة ٢٤ ثم زررت على كافة الأوساط التي استخدمت في العزل الأولى و صبغت بصبغة الكرام Gram's stain و اجريت الاختبارات الكيموحيوية باستخدام فحص API 20 Strep (١٢).

النتائج

العزل الجرثومي

أظهرت نتائج العزل الجرثومي نمو جراثيم المكورات المعاوية على الأوساط الالتحالية بشكل مستعمرات بيضاء إلى رمادية اللون على وسط أكار الدم أزيد ومستعمرات بيضاء إلى رأس الدبوس على وسط الدم ادوارد (الشكل ١) ومستعمرات حمراء - بنية منفردة بحجم رأس الدبوس على وسط (الشكل ٢)، كما أظهرت الجراثيم تقاعلاً موجباً مع صبغة الكرام إذ كانت بشكل مكورات منفردة وأزواج وعلى شكل سلاسل قصيرة، أما نتائج فحص شريط API 20 Strep التي تعتمد على قراءة التغيرات اللونية لمحتويات الحجرات فأظهرت أن نوع العزلة هي المكورات المعاوية البرازية بنسبة ٩٩٪ حيث تكبت نتيجة موجب أو سالب لكل حجرة بالشريط حسب التغير اللوني على ورقة النتيجة الخاصة بالفحص ثم يحسب الرقم النهائي و يقارن بالفهرست الخاص بالجراثيم (الشكل ٣).

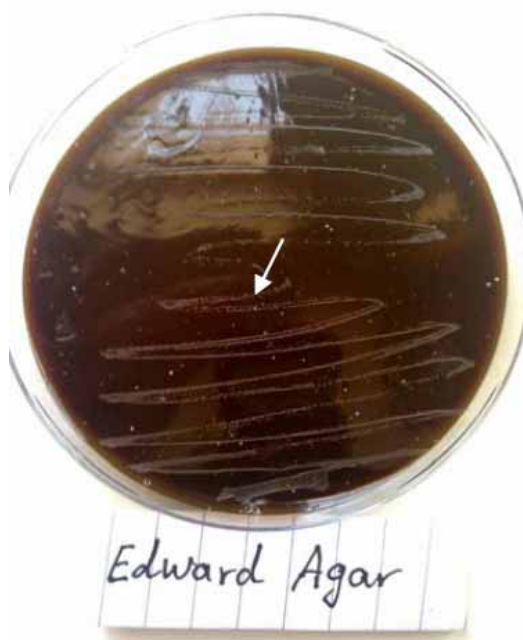
بين اختبار نمو عزلة الجراثيم في وسط مرق نقيع الدماغ و القلب مضاد إليه ملح الطعام NaCl بتركيز ٦٪ ظهر عكارة Turbidity مقارنة مع وسط مرق نقيع الدماغ و القلب مضاد إليه ملح الطعام بتركيز ٦٪ غير المزروع.

العلامات السريرية

أظهرت طيور السمان المخمية علامات سريرية تمثلت بقلة نشاط و نفوش الريش والخمول والانزواء طيلة فترة الدراسة وأظهر أحد الطيور إسهال ممزوج بالدم.



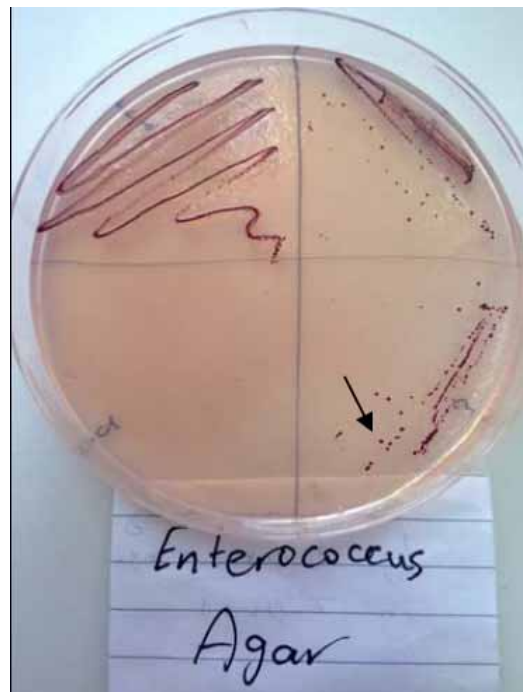
الشكل ٣: فحص شريط API 20 Strep للاختبارات الكيموحيوية بعد ٢٤ ساعة من اضافة البكتيريا النقية الى الحجرات وتظهر التغيرات اللونية لمحطيات الحجرات وتنكتب النتيجة الموجبة او السالبة في ورقة النتيجة بالأسفل ويفارن العدد النهائي مع الفهرست الخاص بهذه الجراثيم اذ بينت النتيجة المكورات المعاوية البرازية *E. faecalis* بنسبة ٩٩%.



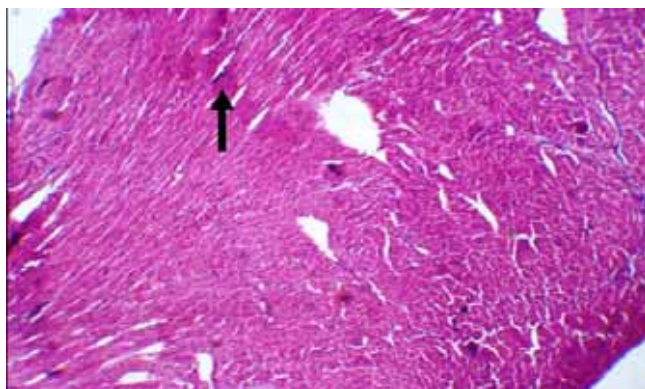
الشكل ١: الوسط الانتخابي (Edward agar).



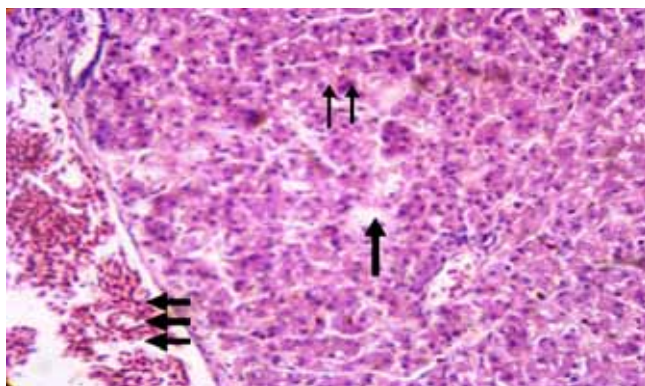
الشكل ٤: احتقان القلب (←) وعاتمة غشاء التامور وتغير لونه الى كريمي معتم في طير سمان مخمج بالمكورات المعاوية البرازية بتركيز 10^10 CFU $\times 10^1$ عند اليوم ١٤ من الخمج.



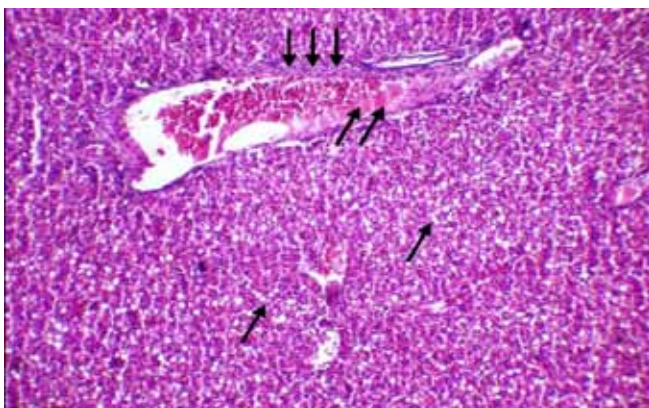
الشكل ٢: الوسط الانتخابي (Enterococcus agar) يظهر المستعمرات الجرثومية بلون ابيض يظهر المستعمرات الجرثومية حمراء - بنية اللون بحجم رأس الدبوس.



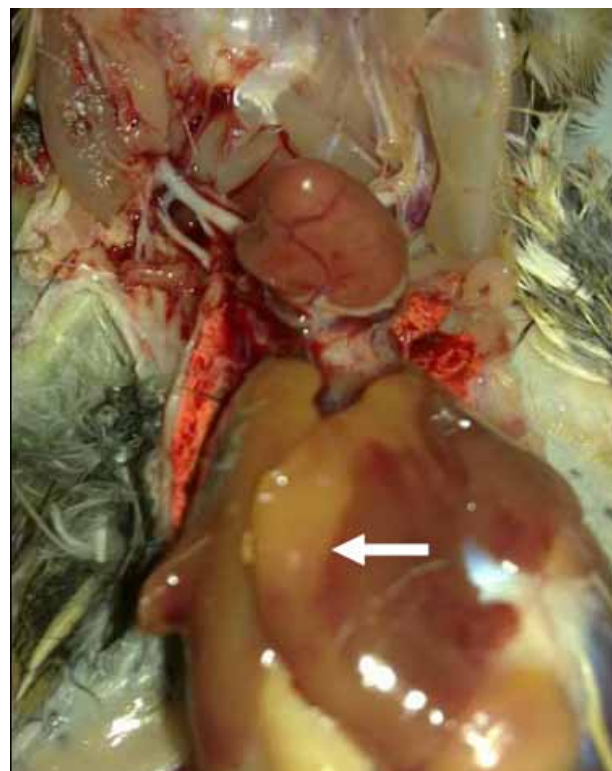
الشكل ٧: (القلب) تزوج الألياف العضلية القلبية ↑ لطير سمان مخمج بتركيز $1X10^9$ CFU بعد ٢١ يوم من الخمج .٩٠X



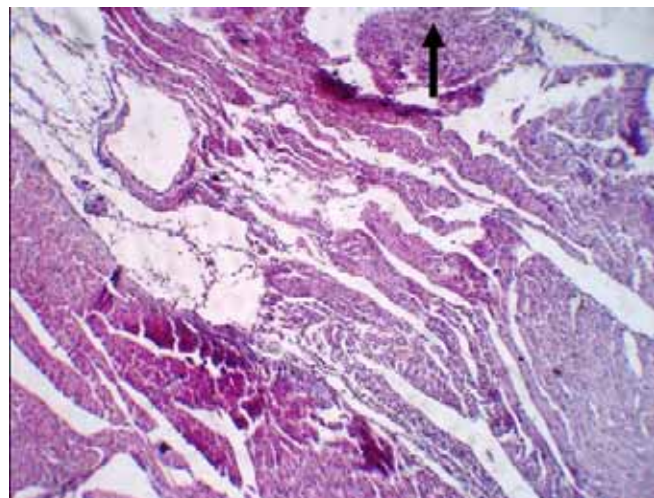
الشكل ٨: (الكبد) التورم الخلوي الشديد ↑ والموت الخلوي المبرمج ↑↑ واحتشان الوريد المركزي والجيبيات ↑↑↑ لطير سمان مخمج بتركيز $1X10^9$ CFU عند اليوم الثالث من الخمج .٩٠X



الشكل ٩: (الكبد) التغير الدهني ونخر الخلايا الكبدية ↓ وتموضع الخثرة الحديثة بالوريد المركزي ↓↓ وارتشاح الخلايا الالتهابية حول الوريد المركزي ↓↓ لطير سمان مخمج بتركيز $1X10^{10}$ CFU عند اليوم ١٤ من الخمج .٥٦X

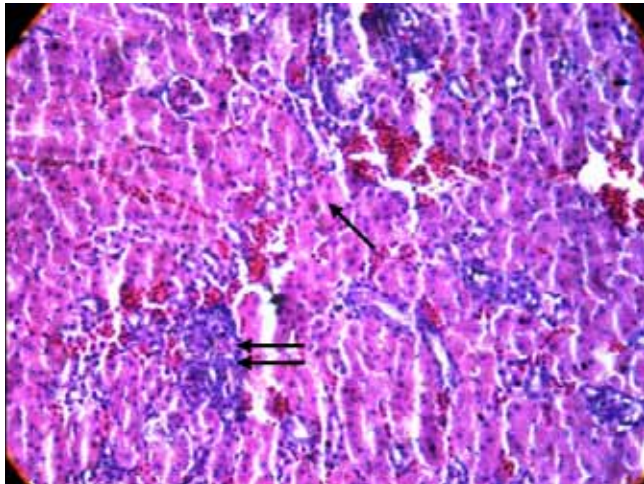


الشكل ٥: احتشاء الكبد Infarction (←) في طير سمان مخمج بالمكورات المعوية البرازية بتركيز $1X10^{10}$ CFU عند اليوم ١٤ من الخمج .



الشكل ٦: (القلب) احتقانات في الشعيرات الدموية بين الألياف العضلية القلبية وارتشاح الخلايا الالتهابية المتمثلة بالمغایيرات ممزوجة بتجمعات من البكتيريا ↑، لطير سمان مخمج بتركيز $1X10^9$ CFU بعد ٤ ١ يوم من الخمج .٩٠X

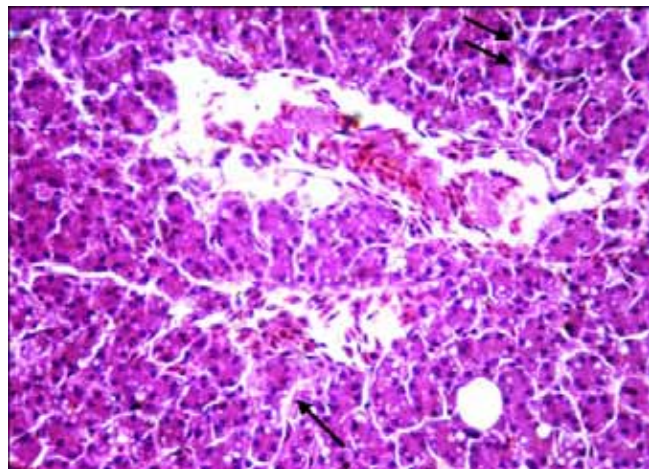
المكورات المعاوية البرازية *E.faecalis* بعد زرعها على الأوساط الزرعية التفرقية والانتخابية وصبغها بصبغة الكرام وإجراء فحص API 20 Strep حيث ان هذا النوع هو السائد من بين أنواع المكورات المعاوية الأخرى وهذا يتفق مع ما ذكره الباحثين (17,16,15,8).



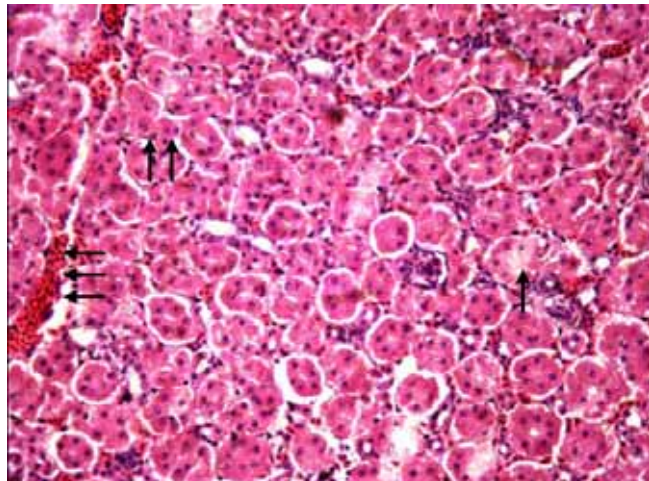
الشكل ١٢: (الكلية) التورم الخلوي الشديد ↓ مع ارتشاح الخلايا الالتهابية المتمثلة بالتغييرات Heterophiles ↓ ↓ لطير سمان مخم مركب يتركيز 1×10^9 CFU عند اليوم 21 من الخمج 280X.

تم اختيار ثلاثة تراكيز من المعلق الجرثومي وهي 1×10^8 CFU و 1×10^9 CFU و 1×10^{10} CFU وذلك بالاعتماد على دراسات أخرى للخمج التجاري بجراثيم المكورات المعاوية البرازية حيث ذكر Schlievert وجماعته (18) أن الجرعة القاتلة LD_{50} لهذه الجراثيم في الفئران تبلغ 3.2×10^8 CFU - 2.2×10^8 CFU عن طريق الحقن بالتجويف الخلبي ويسبب هذا التركيز نفوق الفئران بعد ٣٦-٤٢ ساعة، إلا أنه في هذه الدراسة تم اختيار هذا التركيز من المعلق الجرثومي وتركيز أعلى حقن بالتجويف الخلبي في طيور السمان في تجارب أولية لكنها لم تسبب النفوق لذلك تم اعتمادها في الخمج التجاري.

أشارت نتائج الخمج التجاري ظهور علامات سريرية متمثلة بإسهال ممزوج بالدم وقلة نشاط ونفوش الريش والخمول والانزواء وهي مشابهة للعلامات التي تظهر في أفراخ الدجاج عند الإصابة بالمكورات المعاوية (11) لكن بشكل أقل حدة، أما التغيرات المرضية العيانية والتسبحية في طيور السمان عند الفترات ٣ و ٧ و ١٤ و ٢١ من الخمج التجاري فإنها تؤكد حدوث الخمج بجراثيم المكورات المعاوية البرازية بدءاً من اليوم الثالث للخمج حيث بينت آفات القلب بداية ظهور التهاب شغاف القلب وهذا ما يميز هذه الجراثيم من كونها أحد المسببات الشائعة لالتهاب شغاف القلب في مختلف المضائق (19,8,3) حيث بين الباحث Megrann (20) أن هذه الجراثيم هي المسبب الرئيسي



الشكل ١٠: (الكب) تتكس فجوي طيفي ↓ وارتشاح الخلايا الالتهابية ↓ لطير سمان مخم مركب يتركيز 1×10^9 CFU عند اليوم 21 من الخمج 370X.



الشكل ١١: (الكلية) التورم الخلوي للخلايا الظهارية المبطنة للنبيبات الكلوية ↓ مع الموت الخلوي المبرمج ↓ واحتقان الأوعية المومية ↓ ↓ لطير سمان مخم مركب يتركيز 1×10^9 CFU عند اليوم ٣٧ من الخمج 370X.

المناقشة

تعتبر طيور السمان في الوقت الحاضر من الحيوانات المختبرية الجيدة وذلك لصغر حجمها واستهلاكها القليل للغذاء ونضوجها السريع ودورة حياتها القصيرة والكافحة القليلة للتربيبة وتكيفها مع الظروف المختلفة.

أظهرت نتائج العزل الجرثومي أن العزلة التي أخذت من الأمعاء الدقيقة والأعور لطيور السمان هي عائدة لنوع

خلال عوامل الضراوة وخاصة إنتاج السوبر أوكسайд خارج الخلايا (Extracellular Superoxide) حيث انه جذر حر يعمل على أكسدة الدهون (Lipid peroxidation) في الغشاء الخلوي مما يؤدي الى تحطم الغشاء الخلوي والشبكة البلازمية مما يؤدي الى قلة تصنيع أبوبروتين (Apoprotein) التي تتحدد مع الدهون لتكوين (Lipoprotein) والتي تفرز خارج الخلية الكبدية مما يؤدي الى عدم تحرير الدهون وبقاءها داخل هيولى الخلية وتظهر نسجيا كفجوات (23)، أما تكوين الخثرات الحديثة في الأوعية الدموية فقد يعود الى امتلاك الجراثيم لعوامل الضراوة مثل مواد التجمع وحامض الليبوتيكويك والتي تسهل التصاق الجراثيم مع الصفيحات الدموية وكريات الدم الحمر على بطانة الوعاء الدموي فضلا عن الأذى الذي تحدثه في خلايا البطانة مما يسهل من تكون الخثرات الدموية وترسب الليفين بفعل افراز البروتونجين الذي يعمل على تحويل الفايبرونوجين (Fibrinogen) الى الليفين (Fibrin) مساعد بذلك على تكوين المستوطنات التخثيرية الجرثومية (Bacterial thrombus) (24). ان ظهور الآفات التخثيرية الالتهابية في القلب والكبد والأوعية الدموية والكلية قد يكون ناتج من انتقال الجراثيم عبر الدم ووصولها الى هذه الاعضاء وبما انها تمتلك العديد من عوامل الضراوة التي تساعد في حدوث النخر وتحفز الخلايا البيضاء على تحرير الوسيطات الكيميائية المعروفة له دور في الاستجابة الالتهابية والتي تشمل عامل النخر الورمي (TNF-a) والانترلوكينات (Interleukins) مثل IL-1 β و IL-6 و IL-8 (26,25) وتحrir البروستاكلاندين PGE2 بواسطة البليعمات Macrophage في الفتران (27)، كما أشار بعض الباحثين الى قابلية خلايا البليعمات في الفتران لتحرير الانزيمات الحالة وانتاج السوبر أوكسайд في الانسان والتي تؤدي الى اذى النسيج او تعمل على جذب الخلايا البيضاء (28). ان حدوث الموت الخلوي المبرمج في الكلية والكبد والذي ظهر بشكل واضح في الكلية قد حدث بسبب الفعالية السمية للجراثيم وعوامل الضراوة وخاصة حامض الليبوتيكويك حيث وجد انه يحفز الموت الخلوي المبرمج في مختلف أنواع الخلايا (30,29)، واتصفت الآفات النسجية الأخرى فيها بوجود التورم الخلوي الحاد للخلايا الظهارية المبطنة للنبيبات الكلوية وهذا ما تؤكد له الدراسات (30-31) عن كون هذه الجرثومية تسبب التهاب المجرى البولي ومنها الكلية من خلال الإجهاد التاكسدي خاصة في الانسان والذي يؤثر على مضخة الصوديوم في متقدرات الخلايا الظهارية وبالتالي تأثيره على أيض البروتين من خلال التأثير على انتاج الطاقة، وتشير الدراسات الى ان المكورات المعاوية لها خاصية الالتصاق بالخلايا الظهارية للجهاز البولي بفعل مواد التجمع والالتصاق السطحي والتي تتكون من مواد بروتينية و كاربوهيدراتية خاصة بالالتصاق بالخلايا الظهارية (35).

تستنتج هذه الدراسة بأن عزلة المكورات المعاوية البارازية لها القابلية على إحداث الآفات المرضية خلال الفترات ٣ و ٧ و ١٤

الثالث لالتهاب شغاف القلب في الانسان بعد جراثيم المكورات السببية (Streptococci) والمكورات العنقودية (S. aureus). ان وصول الجراثيم الى القلب والأعضاء الأخرى مثل الكبد والكلية قد يكون حصل بعد حصول تجثم الدم (Bacteremia) عند حقن الجراثيم في التجويف الخلوي وتم التأكيد من هذا عند أخذ مسحة معقمة من داخل القلب وإعادة العزل الجرثومي (Reisolation) حيث أظهرت النتيجة وجود جراثيم المكورات المعاوية البارازية.

ان ظهور التغيرات المرضية قد يتم من خلال تحرير جرثومة المكورات المعاوية البارازية للعديد من عوامل الضراوة وهي ترتبط بتكاثر الجراثيم في المضييف والتنافس مع الجراثيم الأخرى ومقاومة الآلية الدافعية للمضييف وحدوث التغيرات المرضية من خلال إنتاج السموم (Toxins) مباشرة او بصورة غير مباشرة من خلال الاستجابة الالتهابية للمضييف، ان عوامل الضراوة الأكثر تأثيرا هي مواد التجمع ومواد الالتصاق بالسطح والفيرومونات الجنسية (Sex Pheromones) وحامض الليبوتيكويك (Lipoteichoic acids) والسوبر أوكسайд خارج الخلية وأنزيم الجيلاتينيز (Gelatinase) وأنزيم الهاليلورونينيز (Hyaluronidase) وحال الدم (hemolysin) وحل المسام (Cytolysis) وعوامل الضراوة الأقل شدة مثل AS-48 والبكتريوسين (8) حيث تساعد هذه العوامل الجرثومية على التكاثر والالتصاق بجدار الوعاء الدموي ثم الاختراق الى الأنسجة.

ان ظهور آفات التهاب شغاف القلب وتنكس العضلات القلبية يتم من خلال تفاعل بين مواد الالتصاق الجرثومي وخلايا المضييف الهدف حيث ان الأرضية خارج الخلايا (Extracellular matrix ECM) في جميع أنسجة اللسان تحتوي على كلايكوبروتينات (Glycoproteins) وهي تشمل الكولاجين (Fibronectin) واللامين (Laminin) وفابيرونيكتين (Collagen) والبروتوكلايكان (Proteoglycan) والتي تحطم من قبل هذه الجراثيم من خلال تكاثر المستعمرات الجرثومية وبدء الالتهاب (21)، لقد أشارت بعض الدراسات الى دور مواد التجمع Aggregation substances التي تفرزها هذه الجراثيم في حدوث التهاب شغاف القلب وقدرتها على الالتصاق بالكولاجين يظهر دورها الهام في امراضية التهاب شغاف القلب (22).

تميزت الآفات النسجية في الكبد بوجود التورم الخلوي واحتفان الوريد المركزي عن التراكيز الأدنى من المعلم الجرثومي $1X10^8$ CFU عند اليوم الثالث للخمج وربما تحصل هذه الآفات بسبب إفراز السموم الأقل شدة والتي تسبب اضطراب في الغشاء الخلوي ومضخة الصوديوم والبوتاسيوم وبالتالي تؤدي للتورم الخلوي، أما عند التراكيز الأعلى للمعلم الجرثومي عند الأيام ٧ و ١٤ و ٢١ للخمج فكانت الآفات أشد وتميزت بوجود التغير الدهني الشديد في هيولى الخلية الكبدية وتموضع الخثرة الحديثة بالوريد المركزي.

ان ظهور آفات التغير الدهني ربما قد يكون ناتج من الإجهاد التاكسدي الذي تحدثه جراثيم المكورات المعاوية البارازية من

16. Tendolkar PM, Baghdyan AS, Shankar N. Putative surface proteins encoded within a novel transferable locus confer a high-biofilm phenotype to *Enterococcus faecalis*. *J Bacteriol.* 2006; 188(6):2063-72.
17. Balish E, Warner T. *Enterococcus faecalis* Induces Inflammatory Bowel disease in Interleukin-10 Knockout Mice. *Am J Pathol.* 2002; 160(6): 2253-2257.
18. Gentry-Weeks C, Estay M, Loui C, Baker D. Intravenous Mouse Infection Model for Studying the Pathology of *Enterococcus faecalis* Infections. *Infect Immun.* 2003; 1434-1441.
19. Schlievert PM, Chuang-Smith ON, Peterson ML, Cook LC, and Dunny GM. *Enterococcus faecalis* Endocarditis Severity in Rabbits Is Reduced by IgG Fabs Interfering with Aggregation Substance. *PLoS ONE.* 2010; 5 (10), e13194.
20. Megrab DW. Enterococcal endocarditis. *Clin Infect Dis J.* 1992; 15:63-71.
21. Westerlund B, Korhonen TK. Bacterial proteins binding to the mammalian extracellular matrix. *Mol Microbiol.* 1993; 9:687-694.
22. Hienz SA, Schenning T, Heimdal A, Flock JI. Collagen binding of *Staphylococcus aureus* is a virulence factor in experimental endocarditis. *J Infect Dis.* 1996; 174:83-88.
23. McGavin MD, Zachary JF. Pathologic basis of veterinary disease. 4th ed. Mosby Elsevier. 2007; 301.
24. Elsner HA, Sobottka I, Mack D, Claussen M, Laufs R, Wirth R. Virulence factors of *Enterococcus faecalis* and *Enterococcus faecium* blood culture isolates. *Eur J Clin Microbiol Infect Dis.* 2000; 19 (1):39-42.
25. Saetre T, Kahler H, Foster SJ, Lyberg T. Aminoethyl-isothiourea inhibits leukocyte production of reactive oxygen species and proinflammatory cytokines induced by streptococcal cell wall components in human whole blood. *Shock.* 2001; 15:455-460.
26. Bhakdi S, Klonisch T, Nuber P, Fischer W. Stimulation of monokine reduction by lipoteichoic acids. *Infect Immun.* 1991; 59:4614-4620.
27. Card GL, Jasuja RR, Gustafson GL. Activation of arachidonic acid metabolism in mouse macrophages by bacterial amphiphiles. *J Leukoc Biol.* 56:723-728.
28. Harrop PJ, O'Grady RL, Knox KW, Wicken AJ. Stimulation of lysosomal enzyme release from macrophages by lipoteichoic acid. *J Periodontal Res.* 1994; 15:492-501.
29. Satchell PG, Gutmann JL, Witherspoon DE. Apoptosis: an introduction for the endodontist. *Int Endod J.* 2003; 36:237-245.
30. Wang PL, Shirasu S, Daito M, Ohura K. Streptococcus mutans lipoteichoic acid induced apoptosis in cultured dental pulp cells from human deciduous teeth. *Biochem Biophys Res Commun.* 2001; 281:957-961.
31. Kreft, B., R. Marre, U. Schramm, and R. Wirth. Aggregation substance of *Enterococcus faecalis* mediates adhesion to cultured renal tubular cells. *Infect Immun.* 1992; 60:25-30.
32. Guzman, C. A., C. Pruzzo, G. LiPira, and L. Calegari. Role of adherence in pathogenesis of *Enterococcus faecalis* urinary tract infection and endocarditis. *Infect Immun.* 1989; 57:1834-1838.
33. Hirose, T., Y. Kumamoto, N. Tanaka, M. Yoshioka, and T. Tsukamoto. Study on pathogenesis of *Enterococcus faecalis* in urinary tract. *Urol Res.* 1989; 17:125-129.
34. Hooton, T. M. Pathogenesis of urinary tract infections: an update. *J Antimicrob. Chemother.* 2000; 46(Suppl. A):1-7.
35. Shankar N, Lockatell CV, Baghdyan AS, Drachenberg C, Gilmore MS, and Johnson DE. Role of *Enterococcus faecalis* Surface Protein Esp in the Pathogenesis of Ascending Urinary Tract Infection. *Infect Immun.* 2001; 69: 4366-4372.

و ٢١ يوم بعد الخمج و عند كافة التراكيز المستخدمة فضلا عن ان لطير السمان القابلية على مقاومة الخمج مما يشير الى امتلاكها جهاز دفاعي ومناعي مقاوم (تحتاج دراسات تفصيلية أخرى) بالرغم من ظهور التغيرات المرضية عند الخمج التجربى بتراكيز عالية من المعلق الجرثومي والتي تسبب الموت في بعض الحيوانات حيث كانت التغيرات المرضية أشد في الأيام الأولى بعد الخمج و عند اليوم ٢١ من الخمج كانت الآفات أقل حدة فضلا عن ان جرثومة المكورات المعاوية البرازية تحفظ الموت الخلوي المبرمج كآلية للنمو والتكاثر.

المصادر

1. Sutherland WJ, Newton I, Green RE. *Handbook of Techniques Bird Ecology and Conservation.* Oxford University press, 2004.
2. Diverese L, Van de kerchove A, and Scheifer H. Characterization and identification of *Enterococcus* spp. Isolated from animals. *Int J System Bacteriol.* 1987;37:251-259.
3. Al-Kennany ER, Shamoon GN, and Beyon OS. Pathological study of experimental infection of. *Enterococcus Fecalis* in broiler chicken. *Iraqi J Vet Sci.* 2005; 19:(2):105-113.
4. Jett BD, Huycke MM, Gilmore MS. Virulence of enterococci. *Clin Microbiol Rev.* 1994; 7:462-478.
5. Richards MJ, Edwards JR, Culver DH, Gaynes RP. Nosocomial infections in combined medical-surgical intensive care units in the United States. *Infect Control Hosp Epidemiol.* 2000; 21:510-515.
6. Wisplinghoff H, Seifert H, Tallent SM, Bischoff T, Wenzel RP, Edmond MB. Nosocomial bloodstream infections in pediatric patients in United States hospitals: epidemiology, clinical features and susceptibilities. *Pediatr Infect Dis J.* 2003; 22:686-691.
7. Hunt CP. The emergence of enterococci as a cause of nosocomial infection. *Br J Biomed Sci.* 1998; 55:149-156.
8. Kayaoglu G, Orstavik D. Virulence factors of *Enterococcus faecalis* : Relationship to endodontic disease. *Crit Rev Oral Biol Med.* 2004;15(5):308-320.
9. Huycke M. M. and Moore D. R. In vivo production of hydroxyl radical by *Enterococcus faecalis* colonizing the intestinal tract using aromatic hydroxylation. *Free Radic Biol Med.* 2002;33:818-826.
10. Kirkpantur A, Altinbas A, Arici M, Baydar DE, Altun B, and Arslan S. Enterococcal endocarditis associated with crescentic glomerulonephritis. *Clin Exp Nephrol.* 2007;11:321-325.
11. Kahn C, Line S. *The Merck Veterinary Manual.* 10th Edition ; Merck Sharp & Dohme Corp., asubsidiary of Merck & Co., Inc. Whitehouse Station, NJ USA. 2011; 978-0-911910-93-3.
12. Quinn, P.J, Markey, B.K., Carter, M.E., donnelly, W.J. and leonard, F.C. *Veterinary Microbiology and Microbial Disease.* Oxford : Blackwell Science. 2002; pp:49-52.
13. Miles AA, Misra SS, Irwin JO. The estimation of the bactericidal power of the blood. *The Journal of hygiene.* 1938 ;38(6):732-49.
14. Luna LG. *Manual of histological staining methods of the armed forces institute of pathology.* 3rd ed. New York : Mac Graw Hill Book company. 1968; 38-76.
15. Hamad MA, Al-Aalim AM, Al-Dabbagh SYA, Ali HH. Detection of organ bacterial load in quails. *Iraqi Journal of Veterinary Sciences,* 2012; 26, Supplement II :47-51